

京都大学工学部 正員 岩佐義郎  
 京都大学大学院 学生員 富野五郎  
 京都大学大学院 学生員 萩山文治

## 1 まえがき

石油パイプラインや下水管などの管路では、管底に粒子が堆積する場合がある。また粒子の流体輸送でも、輸送すら粒子の堆積しない流速、いわゆる限界堆積速度以上で行はわれるが、不時のことこの流速以下で輸送が行はれ、粒子が管底に堆積する場合がある。この堆積物は、水理条件と bed の粒子の特性に応じて各種の bed 形態を形成し、摩擦損失を著しく変え、管路を開塞させることがある。粒子を含む円管内の流れについては、従来限界堆積速度以上に対する研究が主で、この流速以下については、ほとんど研究されていない。そこで本研究は、限界堆積速度以下の円管路内の bed の形態について実験的に論じようとするものである。

## 2 管路の bed の形態

開水路の bed 形態には、ripple-dune, flat-bed, antidune などの形態があり、水理条件と bed のそれらの特性に応じどの形態をとるか、多くの実験結果と現地観測結果を用い、各種の無次元量<sup>1)</sup>、との区分が行はれ、また理論的な説明も行はれてい。管路を 2 次元として、bed の安定問題を林の方法<sup>1)</sup>に準じてとくと<sup>2)</sup>

$$a(t) = a(0) \exp [4g \beta k^2 T \tanh kh \left( \frac{\tanh kh}{kh} \frac{\alpha}{4g\beta} - Fr^2 \right)], \quad a(t) > 0 \text{ の時}, \quad Fr^2 < \frac{\alpha}{4g\beta} \frac{\tanh kh}{kh},$$

$$Ub = kT (\alpha k \delta + 4 \coth kh) > 0,$$

$a(t)$ ,  $k$ ,  $Ub$ ; bed wave の振幅、波数、速度、 $T$ ; 平均流動量、 $\alpha, \beta, \delta$ ; 正の定数、 $Fr = \frac{U}{\sqrt{gh}}$ ; 管内フード数、 $h$ ; 水深、 $U$ ; 平均流速、 $g$ ; 重力の加速度である。したがって管路では、開水路における antidune の形態ではなく、ripple-dune に相当する wave-bed と flat-bed の形態になると考えられる。また管路における bed は高さが限られ、その表面が流速の増加によりだんだんけずり取られ消滅する場合と、表面に作用する力が bed と管底の摩擦力を越え、かんげつ的に動き消滅する場合とある。前者は flat-bed の場合に、後者は wave-bed の場合における。したがって flat-bed の存在しない場合もある。開水路においても bed の形態に関する問題は、完全に解明されていないわけではなく、これらに円管路における水と粒子の運動は 3 次元的で、その取扱いは非常に複雑で難しい。そこでここでは次元解析法を用いて、bed 形態を規定する関係を考えてみることにする。終尾は bed の粗度を規定する無次元量の関係式として<sup>3)</sup>

$$U/U_k = \phi_1 (R/d), \quad Fr = U/\sqrt{gR}, \quad \psi = U^2/gd, \quad U_*/\omega, \quad U_d/v, \quad \sigma/d$$

$U$ : 平均流速、 $U_*$ : 摩擦速度、 $R$ : 径深、 $Fr$ : フード数、 $d, s, w, \sigma$ : 粒子の径、比重から 1 を引いた値、沈降速度、混合程度をあらわす係数、 $S$ : こう配、 $g$ : 重力の加速度、 $\psi$ : 扰乱動力学数を得ている。円管路でも上の無次元量を用いる。ただし  $s$  は Einetem の方法により壁の影響を除いて求め、 $S$  はエネルギーこう配  $I_1$  で代入する。これらの無次元量<sup>2)</sup>、開水路で行はれてい（ $U_*w \sim U_d/v$ ）と（ $Fr \sim \psi$ ）の関係に従い、wave の発生する点（以下で WI という）、flat-bed による点（以下で FI という）、限界堆積速度の点（以下で LDV という）について実験結果を整理して考察してみる。

### 3 実験

実験は、水平長約8m、直径約5cmの貯水タンクつきの循環水路で行った。実験区間は取り替え可能で、内径5.21cmと3.24cmのアクリル製の透明管を用いた。損失水頭の測定は、管壁に50cm間隔にとりつけた静圧タップを使い、その値が小さいのでキシレンを用いてマノメーターで行った。管内の粒子の体積濃度は、測定の終了後管の一部を取りはずし粒子の水中重量を測定し、比重から逆算して求めた。この濃度と粒子の間隙率から粒子の管内に占める面積を、またbed面は流れと直角の方向には水平として溝幅を求めて、平均流速は排水出し流量より求めた。W.I.は、まず平なbed面をうるため粒子を浮遊させ、ポンプを止め粒子を堆積させ、その状態から流速を増して求めた。用いた粒子はガラスビーズ(比重2.50)、豊浦標準砂(比重2.63)の2種類である。濃度は約5%～6%である。ただし $d=177\text{ }\mu\text{m} \sim 250\text{ }\mu\text{m}$ のガラスビーズについては、濃度の影響をみるとために約2%，5%，10%の3段階に変化させた。

### 4 結果

図1はbedの形態の変化による抵抗の変化を示したものである。W.I.からF.I.はWave-bed 2<sup>o</sup>, F.I.からLDVはflat-bed 2<sup>o</sup>、bed厚が徐々に減少していく状態にある。図2においてWI, FI.はほぼ1つの曲線上にのり濃度や管径の影響を受けないことがわかる。点線は開水路に対する形態の区分をあらわすが、これより少し小さくなっている。LDVは濃度の影響では少しつけている。

$d=500\text{ }\mu\text{m} \sim 710\text{ }\mu\text{m}$ のガラスビーズについては、Wave-bed から直接bedの動く状態になりflat-bedには得られなかった。図3において点線の間は、開水路におけるflat-bedを示す区間である。Frの値は管径が同じであれば、FI.に付しあは同じである。LDVのFrの値は非常にばらついている。またWIの中の値は、開水路のFrの値より少し大きい。以上から、用管路のbed形態は2で述べた形態をとることがわかった。しかしレーダーの無次元量がbed形態の変化に最も強く関係しているかは、実験データもなく、また管径、粒径の変化も限られ2つで結論づけられない。より大きな管径、粒径のものをもう1つ実験が必要である。

1)林泰造「河川航行の成因に関する」2)葛山文治「掃流粒子を有する管路流」3)梅尾捨三郎「移動床をもつて流れ水路床破砕」土木学会論文報告集 第180号  
これに関する実験的研究」筑大卒論4)島田 勝「状態について」土木学会論文報告集 第71号。

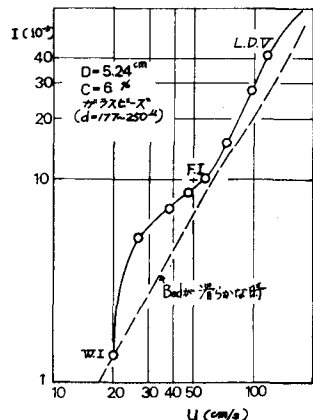


図-1

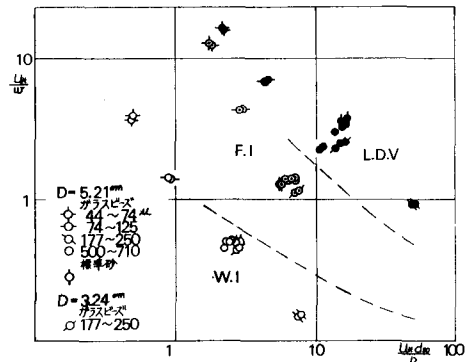


図-2

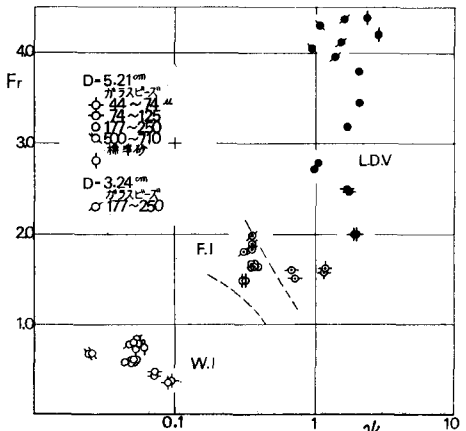


図-3